

پنهانه‌بندی آسیب‌پذیری فرسایش کناره‌ای (مطالعه موردی: رودخانه هفت‌چشمه قزوین)

محمد‌مهدی حسین‌زاده* - گروه جغرافیای طبیعی، دانشکده علوم زمین، دانشگاه شهید بهشتی، تهران، ایران
نیلوفر برخورداری - گروه جغرافیای طبیعی، دانشکده علوم زمین، دانشگاه شهید بهشتی، تهران، ایران

تاریخ پذیرش: ۱۳۹۹/۰۸/۱۸ تاریخ دریافت: ۱۳۹۸/۱۱/۲۱

چکیده

رودخانه‌ها سیستمی پویا بوده و برای رسیدن به تعادل بستر در مسیر خود برداشت، حمل، و رسوب گذاری می‌کنند. به همین دلیل، مشخصه‌های مورفو‌لوجیک آن‌ها به طور پیوسته در طی زمان تغییر می‌کند. در این پژوهش از روش پنهانه‌بندی آسیب‌پذیری فرسایش کناره برای بررسی عوامل مؤثر (شیب کاره، الگوی پیچانروزی، شیب طولی رودخانه، فرسایش خاک، پوشش گیاهی، غایلیت‌های انسانی، و تنش برنشی نزدیک کرانه) در ناپایداری و فرسایش کناری رودخانه هفت‌چشمه در روستای رزجرد از توابع استان قزوین بخش رودبار الموت (ملزم کلایه) و به طول تقریبی ۱۱ کیلومتر استفاده شده است. با استفاده از نقشه‌های توپوگرافی، تصاویر گوکل ارت، و بازدیدهای میدانی، پارامترهای هر بازه بررسی شد و سپس پنهانه‌بندی رودخانه از نظر مخاطره‌آمیزبودن آن به پنج منطقه خیلی زیاد، زیاد، متوسط، کم، و خیلی کم تقسیم شد. نتایج نشان داد بیشتر بازه‌ها در رودخانه هفت‌چشمه از نظر حساسیت به فرسایش در وضعیت متوسط قرار دارند. اما در بازه‌های ۸ و ۹ به دلیل فعالیت انسانی زیاد در حریم رودخانه در طبقه متوسط تا زیاد از نظر مخاطره قرار گرفته‌اند. همچنین در همه بازه‌ها به جزء بازه ۱۰ بدلیل حساسیت مواد کناره نسبت به فرسایش در طبقه متوسط تا زیاد قرار گرفته‌اند.

واژگان کلیدی: آسیب‌پذیری کانال، پنهانه‌بندی، رودخانه هفت‌چشمه، فرسایش کناره‌ای، قزوین.

مقدمه

رودخانه‌ها به طور دائم در حال تغییر و تحول‌اند. مفهوم این جمله را کسانی که سالیان متمادی در حاشیه رودخانه‌ها سکنی داشته یا به فعالیت‌های کشاورزی مشغول‌اند به خوبی درک کرده‌اند و معمولاً خاطرات آنان بیانگر حرکت‌های موضعی و تغییر ابعاد رودخانه‌ها به طور تدریجی (تحت رژیم عادی جریان) یا ناگهانی تحت شرایط سیلاب‌هاست. تغییر و دگرگونی مستمر از اصول حاکم بر هر رودخانه‌ای است که همگام با حرکت و جاری شدن آب و رسوب در بستر آن، تغییر و جابه‌جایی در سایر مشخصات هندسی رودخانه به‌وقوع می‌پیوندد. جریان رودخانه‌ها در بستر آبرفتی همواره با فرسایش و انتقال رسوب همراه بوده است. وقوع فرسایش در بستر رودخانه‌ها، به صورت تدریجی یا توده‌ای، متناسب تغییراتی در شکل و مسیر و ظرفیت رودخانه‌هاست که ممکن است خسارات یا مشکلات مختلفی به دنبال داشته باشد. پیوند مستقیم رودخانه‌ها با مسائل اجتماعی، اقتصادی، و معیشتی جوامع عامل اصلی حساسیت نگاه بشری به تغییرات رودخانه‌هاست که معمولاً این جابه‌جایی‌ها اثرهای نامطلوبی در عوامل فوق ایجاد می‌کند. به همین جهت، ریخت‌شناسی یا علم رفتارشناسی رودخانه در پی شناخت قوانین حاکم بر تغییرات و علل و عوامل آن و همچنین پیش‌بینی رفتار

رودخانه‌هاست. رفتار رودخانه از دو دسته عوامل طبیعی و عوامل انسانی تأثیر می‌پذیرد. عوامل طبیعی مانند وقوع سیل، فرسایش خاک، لغزش زمین و عوامل انسانی مانند ساخت‌وساز تأسیسات، تغییر کاربری اراضی، و برداشت شن و ماسه از بستر نقش اساسی در رفتار و تشدید تغییرات رودخانه دارد.

فرسایش کناره تخریب کناره رودخانه و ناپایداری مجرای رودخانه را به دنبال داشته و این پدیده هنگامی تشدید می‌شود که مثلاً و بستر رودخانه آبرفتی باشد (رضایی‌مقدم و همکاران، ۱۳۹۱: ۳۶). در رودخانه‌هایی که هنوز به نظام تعادلی نرسیده‌اند، تعریض و تعمیق رودخانه و در رودخانه‌های پیچان‌رودی عقب‌نشینی ساحل خارجی از پدیده‌های عادی بهشمار می‌روند (تورن، ۱۹۸۱: ۴۷۱). دلایل عمده ناپایداری سواحل و دیوارهای رودخانه را می‌توان شسته‌شدن ذرات خاک در اثر جریان و امواج، شسته‌شدن پاشنه شبی سواحل و ریزش و گسیختگی درونی آن، افزایش شبی سواحل در اثر فرسایش و آب‌شستگی، افزایش فشار منفذی در حالت کاملاً اشباع، گسیختگی درونی شبی به علت نشت آب به سمت رودخانه، فرسایش ناشی از ورود زهکش‌های کشاورزی، و عوامل بسیار دیگر برشمرد (غفاری و همکاران، ۱۳۸۲: ۶۲). از سوی دیگر، پایداری رودخانه نیز تحت تأثیر مؤلفه‌های درونی شامل متغیرهای اقلیم، پوشش گیاهی، فعالیت‌های انسانی، و شیوهٔ بخشدن و ذوب‌شدن (برترند و پاپانیکولاو، ۲۰۰۹: ۶۴۸۰) و مؤلفه‌های خارجی نیز شامل مورفولوژی رودخانه، مانند انواع الگوهای رودخانه (پیچان‌رودی، شریانی، و مستقیم) ویژگی‌های هندسی و هیدرودینامیکی قوس‌های رودخانه‌ای، مواد بستر و کناره‌های رودخانه، متغیرهای هیدرولوژیکی جریان، و عامل تنفس برشی است (مینگوبی، ۲۰۱۰: ۳۹۱؛ توکالندنی، ۲۰۰۷: ۱۱۶۸). تغییر هر کدام از مؤلفه‌های درونی و خارجی پایداری رودخانه را تحت تأثیر قرار می‌دهد. با توجه به این موارد، نظارت بر تغییرات جانبی مجرای رودخانه و ناپایداری بستر و بررسی علل اساسی این تغییرات از مؤلفه‌های اساسی مدیریت رودخانه‌ها و دشت‌های سیلانی محسوب می‌شود. با این شناخت، دانش مورد نیاز برای پیش‌بینی تغییرات آینده فراهم می‌شود.

روسکن (۲۰۰۱) در پژوهش در کلرادو به بررسی فرسایش کناره‌ای پرداخته است. در این روش میزان فرسایش کناره‌ای و میزان انتقال رسوبات رودخانه با توجه به اندازه‌گیری پارامترهایی شامل اندازه‌گیری ارتفاع کناره، زاویه، مواد سازنده کناره، توالی لایه‌ها، عمق شیارها، چگالی شیارها، و درصد حفاظت کناره انجام شد. نتایج به دست آمده حاکی از آن است که میزان فرسایش زمین‌شناسی و دخالت عوامل انسانی و بررسی میزان پوشش گیاهی کanal رودخانه در آنالیز پایداری کanal رودخانه، ثبت کناره رودخانه، و مقدار رسوبات ناشی از فرسایش کناره‌ای رودخانه دخالت دارد. برترند و پاپانیکولاو (۲۰۰۹) در مطالعه‌ای نقش تغییرات مورفولوژیکی حادث‌شده به وسیلهٔ جریان‌های عادی و سیلانی را در رودخانه تاقلیماتو در ایتالیا بررسی کردند. آن‌ها نشان دادند تا زمانی که دبی رودخانه پایین‌تر از دبی لبانی است و سیلان‌های بزرگی را تجربه نکند، فرم بستر رودخانه منطبق با نوع جریان می‌شود و اشکال مورفولوژیکی منطبق با آن جریان شکل می‌گیرد. اما تغییرات مورفولوژیکی حادث‌شده به وسیلهٔ سیلان نسبتاً بزرگ چشم‌گیر بوده و تغییرات بزرگی در مقطع عرضی بستر بعد از وقوع هر سیل رخ داده است. این مطالعه رابطهٔ بسیار خوبی را بین اوج دبی و بستر فعل و میانگین تغییرات بستر نشان داده است. همچنین، تغییرات عرضی کanal بعد از وقوع هر سیل نشان داد که تفاوت‌های بسیار اساسی در حالت جریان معمولی و جریان سیلانی (جریان‌هایی با دوره بازگشت بیشتر از دو سال) وجود دارد. باندی اپاده‌ی و همکاران (۲۰۱۴) به بررسی فرسایش کناره‌ای با استفاده از RS-GIS پرداختند و با استفاده از هشت پارامتر شامل فرسایش آبی، فاکتور سنگ‌شناسی، شبکه کناره‌ای، پیچان‌رودی، گرادیان رودخانه، فرسایش خاک، و فعالیت‌های

انسانی میزان آسیب‌پذیری رودخانه هاوارا و تیپورا را اندازه‌گیری کردند و منطقه را از نظر خطر فرسایش به پنج ناحیه خیلی زیاد، زیاد، متوسط، کم، و خیلی کم تقسیم کردند.

گوش و همکاران (۲۰۱۶) در پژوهشی که در امتداد رودخانه بکرشوار^۱ در شرق هند انجام شد به تخمین منبع رسوب و فرسایش کناره‌ای با استفاده از مدل پتانسیل مخاطره فرسایش کناره‌ای (SBEHP) پرداختند. همچنین، با استفاده از شاخص‌های BEHI و NBS به بررسی فرسایش کناره بالادست و پایین‌دست رودخانه پرداختند و این دو شاخص را مقایسه کردند. تاھی و مین (۲۰۱۹) مکانیزم‌های اصلی ناپایداری کرانه‌ای را مطالعه کردند. یافته‌های آن‌ها نشان داد ویژگی‌های خاک و تعییرات سطح آب از عوامل مهم ناپایداری کرانه‌ای است.

غفاری و همکاران (۱۳۸۶) تعییرات مورفولوژی کناره‌ای با لر رود را بررسی کرد. در این مطالعه برای تعیین و شناسایی نقاط مستعد فرسایش و رسوب‌گذاری، مقادیر حداکثر و حداقل تنش برشی سواحل راست و چپ و مجرای اصلی هر مقطع در دوره‌های بازگشت مختلف تعیین و در نهایت مناطق در معرض خطر فرسایش مشخص شده است. یمانی و شرقی (۱۳۹۱) عوامل مؤثر در فرسایش کناری رودخانه هر رود در استان لرستان را بررسی کردند. رضایی‌مقدم و همکاران (۱۳۹۱) در پژوهشی با استفاده از روش‌های تنش برشی و شاخص مقاومت نسبی بستر به بررسی وضعیت پایداری و مقایسه نتایج این روش‌ها با نتایج مطالعات صحرایی و ویژگی‌های مورفولوژیک هر کدام از بازه‌های مورد مطالعه در طبیعت پرداختند. حسین‌زاده و متتش بیرونوند (۱۳۹۳) فرسایش کناره‌ای بخشی از رودخانه کشکان در استان لرستان در محدوده شهر پل دختر تا پل گاویشان به طول ۲۵ کیلومتر را با استفاده از روش توالی زمانی استنتاجی بررسی کردند. حسین‌زاده و اسماعیلی (۱۳۹۴) در پژوهشی مدل‌سازی فرسایش کرانه رودخانه را با استفاده از مدل BSTEM در رودخانه لاویج انجام دادند. نتایج تحلیل نشان می‌دهد پسروی اندازه‌گیری شده در کرانه رود در سناریوهای مختلف از ۰ تا ۸۱ سانتی‌متر تعییر می‌کند. حسین‌زاده و همکاران (۱۳۹۶)، با استفاده از روش BEHI (شاخص خطر فرسایش کناره‌ای)، به ارزیابی رودخانه قرانقوچای از نظر الگو و اندازه‌گیری میزان فرسایش کناره‌ای و ناپایداری کناره‌ها پرداختند. حسین‌زاده و همکاران (۱۳۹۶)، برای بررسی فرسایش کرانه رودخانه گالالی قروه به عنوان یک رودخانه ناپایدار، از نقشه‌برداری میدانی و گوگل ارث استفاده کردند و پارامترهای مورفولوژی مجاور میزان فرسایش کرانه رودخانه بر اساس شاخص تنش برشی نزدیک کرانه رودخانه (NBS) راسگن را مطالعه کردند.

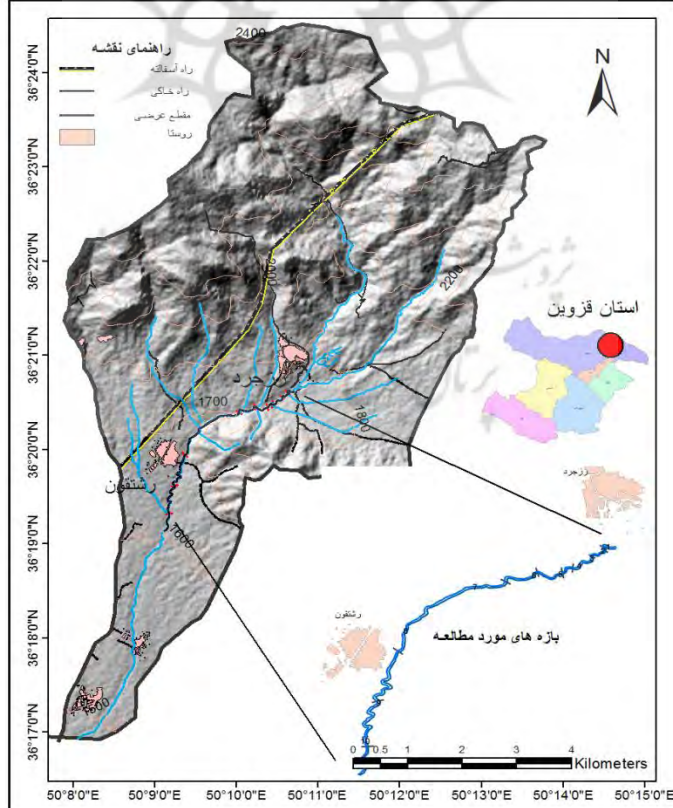
تحقیق حاضر با هدف بررسی ناپایداری و فرسایش کناری رودخانه هفت‌چشمه در روستای رزجرد از توابع استان قزوین بخش رودبار الموت (معلم کلایه) انجام گرفته است. بدلیل اهمیت رودخانه هفت‌چشمه و حوضه آن برای ادامه حیات ساکنان روستا به واسطه عبور طولی آن از دو طرف کناره‌های روستا و ارتباط مستقیم آن با فعالیت‌های کشاورزی و معیشتی مردم روستا، اهمیت انجام‌دادن این پژوهش را مشخص می‌کند.

معرفی منطقه مورد مطالعه

حوضه مورد مطالعه در شمال شرقی استان قزوین بخش رودبار الموت (معلم کلایه) با طول جغرافیایی $۵۰^{\circ} ۱۰' ۱۴'$ و عرض جغرافیایی $۳۶^{\circ} ۲۰' ۲۷'$ به طول تقریبی ۱۱ کیلومتر در روستای رزجرد در دامنه جنوبی البرز و جنوب منطقه الموت قرار دارد و به همین علت منطقه کوهستانی بود و بیشتر اراضی روستای رزجرد را کوه‌ها و تپه‌ها فراگرفته است (شکل ۱). کوه‌های موجود در این حوضه شامل آسو مرز، تل سیفون، زرده‌کش، سجاف، سیاسنگ، سیرکوه، قلعه، لاله‌چاک، نقاره‌خانه تپه، و

یخبند (شجاع الدین) است که از میان آن‌ها کوه یخبند (شجاع الدین) به ارتفاع ۲۴۴۵ در شمال غربی روستای رزجرد و یکی از بلندترین قله‌هایی است که نزدیک به شهر قزوین قرار دارد. قله دیگر، به نام نقاره‌خانه تپه، در جنوب روستا واقع است و ارتفاعی در حدود ۱۸۲۵ متر دارد. اهالی روستا این کوه را جهت قبله رزجرد می‌شناسند. رودخانه هفت‌چشمه مشکل از چشمه‌های وندر، اولی کرو، پلا رو دخانه، و چشمehr است که به یکدیگر متصل می‌شوند و رودخانه هفت‌چشمه را تشکیل می‌دهند. منطقه مورد مطالعه در دامنه جنوبی البرز در بخش الموت قرار گرفته است. این بازه به طول تقریبی ۱۱ کیلومتر است که از مجاور روستاهای رزجرد، رشتقون، میانبر، و شینقور عبور می‌کند. منطقه مورد مطالعه در زون زمین‌شناسی البرز واقع شده است. واحدهای چینه‌شناسی منطقه مورد مطالعه مربوط به دوران پالئوزوئیک (سازند روته و دورود)، مژوزوئیک (سازند الیکا و شمشک مشکل از شیل سیاه‌رنگ زغال‌دار با بین لایه‌های از ماسه‌سنگ و سیلتستون همچنین آندزیت بنفسررنگ و تراکی آندزیت)، سنوزوئیک (جریان‌های بازالتی و تراکی آندزیت‌های تیره‌رنگ همراه با توف‌های آتش‌شسانی اوشون، بازالت خاکستری تیره و آندزی بازالت میوسن، رسوبات مارن‌های ژیپس‌دار و ژیپس و کنگلومرای سازند هزار دره پلیوسن) است. رسوبات کواترنر عمده‌شامل پادگانه‌های جوان مشکل از قلوه‌سنگ‌های درشت به همراه مقادیر قابل توجهی ذرات در حد اندازه ماسه درشت و شن و مقادیر بسیار جزئی رس و آبرفت عهد حاضر است.

میانگین بارش سالانه منطقه از ۲۱۰ میلی‌متر در مناطق جنوبی تا بیش از ۵۵۰ میلی‌متر در ارتفاعات شمال شرقی متغیر است. حداقل بارش در دامنه‌های شمال شرقی الموت و با بارش بیش از ۵۵۰ میلی‌متر است. متوسط دبی سالانه رودخانه در ایستگاه امیرآباد ۴۲/۰ متر مکعب در ثانیه و در ایستگاه باراجین ۵/۰ متر مکعب در ثانیه است.

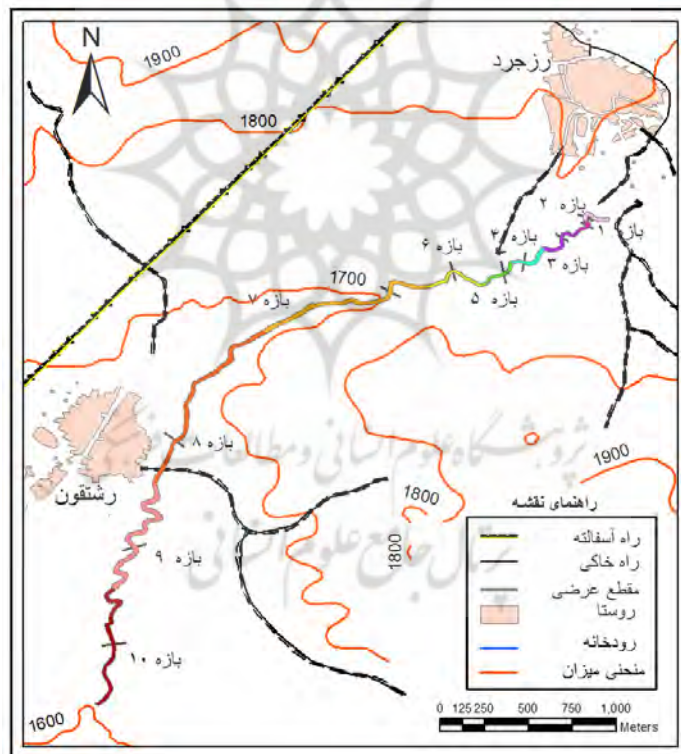


شکل ۱. موقعیت منطقه مورد مطالعه

مواد و روش‌ها

در این پژوهش از نقشه توپوگرافی ۱/۲۵۰۰۰ سازمان نقشه‌برداری کشور برای تعیین مرز حوضه و مسیر جریان و همچنین بخشی از لایه‌های اطلاعاتی از جمله مدل رقومی ارتفاع، منحنی میزان، شیب، و جهت دامنه استفاده شد. داده‌های بارش از سازمان هواشناسی کشور، شامل ایستگاه‌های باغ کلایه، رجایی‌دشت، یارفیع، محمدآباد، رازمیان، خسرود، قسطین‌لار، شیرکوه، شترک، بهجت‌آباد، آشتگین، زرشک، بیدستان، باراجین، و زیاران- تهیه شد. ضریب پیچان‌رودی و پوشش گیاهی با استفاده از تصاویر گوگل‌ارث اندازه‌گیری و تعیین حدود شد و بر اساس داده‌های میدانی بازبینی و تأیید نهایی شد.

محدوده مورد مطالعه در این پژوهش به طول تقریبی ۱۱ کیلومتر و از روستای رزجرد تا روستای شینقر قرار دارد و میانگین ضریب خمیدگی این بازه ۱/۱۷ و دارای الگوی سینوسی است. از محدوده مورد مطالعه ۷ بار بازدید میدانی انجام پذیرفت و با توجه به مورفو‌لوژی و الگوی کanal، محدوده به ده بازه تفکیک شد. در ادامه ده مقطع عرضی در این بازه به طول تقریبی ۱۱ کیلومتر انتخاب شد و به تهیه پروفیل‌های عرضی کanal با استفاده از متر پارچه‌ای و شاخص و دوربین نقشه‌برداری اقدام شد (شکل ۱).



شکل ۲. موقعیت بازه‌های مورد مطالعه در رودخانه هفت‌چشمه قزوین

به منظور شناسایی مناطق مستعد فرسایش کناره‌ای، از مدل پهنه‌بندی آسیب‌پذیری فرسایش کناره‌ای استفاده شد که با استفاده از اطلاعات و اندازه‌گیری‌ها و اعداد و ارقام به دست آمده در قالب یک سری جداول‌ها و نمودارها برای موارد مختلف نمونه‌برداری انجام می‌گیرد. در این روش بر پایه کارهای میدانی و بر اساس ۹ پارامتر می‌توان فرسایش و آسیب‌پذیری رودخانه نسبت به فرسایش را بررسی و ارزیابی کرد. پارامترهای مورد مطالعه عبارت‌اند از:

- (۱) فرسایندگی باران؛ (۲) فاکتور سنگ‌شناسی؛ (۳) شیب کناره کانال؛ (۴) ضریب پیچان‌رودی؛ (۵) شیب طولی رودخانه؛ (۶) وضعیت فرسایش خاک؛ (۷) پوشش گیاهی حاشیه رودخانه؛ (۸) فعالیت‌های انسانی مجاور رودخانه؛ (۹) تنش برشی نزدیک کرانه.

بعد از مشخص شدن هر یک از اطلاعات و با استفاده از پارامترهای موجود، به بررسی مقاطع انتخابی با استفاده از پارامترها پرداخته می‌شود و بر اساس داده‌های هر پارامتر وزن دهی انجام می‌گیرد. مدل پهنه‌بندی آسیب‌پذیری فرسایش کناره از طریق وزن دهی به متغیرها به تفسیر داده‌ها می‌پردازد و درواقع یک مدل پیشنهادی بر پایه سیستم اطلاعات جغرافیایی است. در انتهای به تهیه نقشه پهنه‌بندی رودخانه با توجه به پارامترهای گفته شده پرداخته می‌شود که شدت آسیب‌پذیری به پنج طبقه- خیلی زیاد، زیاد، متوسط، کم، و خیلی کم- تقسیم می‌شود (جدول ۱). در انتهای زمانی که همه مقاطع امتیازدهی شد، نقشه کلی از مقاطع تهیه می‌شود و بر اساس وزن‌های اختصاص یافته به مقاطع، مناطق حساس به ناپایداری و آسیب‌پذیری کرانه پهنه‌بندی می‌شود.

جدول ۱. جمع‌بندی و امتیازدهی مدل پهنه‌بندی آسیب‌پذیری فرسایش کناره‌ای

جمع‌بندی کلی	تشیب برشی کناره	فعالیت‌های انسانی	پوشش گیاهی	فرسایش خاک	شیب طولی	پیچان‌رودی	شیب کناره‌ای	کرانه	مقاطع در باشه ۱۰
	بیشتر از ۳۵	۲۸-۳۵	۲۱-۲۸	۱۴-۲۱	۷-۱۴	۷			
خیلی شدید	خیلی زیاد	زیاد	متوسط	آرام	خیلی آرام				
۶	۵	۴	۳	۲	۱				
F	E	D	C	B	A				
امتیاز هر بازه از کل پارامترها	امتیاز هر بازه از هفت پارامتر محاسبه شده جمع می‌شود و در جمع‌بندی کلی قرار می‌گیرد که با توجه به نمره کسب شده در کدام طبقه شامل خیلی آرام، آرام، متوسط، زیاد، خیلی زیاد، و خیلی شدید قرار می‌گیرد. (A, B, C, D, E, F)							۱	
								۲	
								۳	
								۴	
								۵	
								۶	
								۷	
								۸	
								۹	
								۱۰	

۱. فرسایندگی باران

مفهوم عبارت فرسایندگی باران را ویشمایر و اسمیت در سال ۱۹۵۸ (ویشمایر و اسمیت، ۱۹۷۸: ۱۷) به لحاظ تأثیر اقلیم بر فرسایش ارائه کردند. با توجه به اینکه حوضه مورد مطالعه از نظر مساحت کوچک است و فاقد هر گونه ایستگاه ثبت باران است، الگوی بارندگی با استفاده از ایستگاه‌های باران‌سنگی مجاور آن بررسی شد. به همین منظور، برای تهیه نقشه فرسایندگی منطقه مورد مطالعه داده‌های بارش به مدت سیزده سال برای پانزده ایستگاه— که نزدیک‌ترین ایستگاه‌ها به حوضه مورد مطالعه بودند— تهیه شد. سپس، در محیط اکسل رابطه رگرسیونی داده‌ها بر اساس رابطه بین بارش و ارتفاع ترسیم شد و بهترین تابع برای برازش آن (تابع خطی) انتخاب شد و بر اساس معادله رگرسیونی حاصل از برازش بارش و ارتفاع در محیط سیستم اطلاعات جغرافیایی نقشه توزیع بارش منطقه ترسیم شد. برای محاسبه مقدار فرسایش بارندگی از رابطه‌های ۱ و ۲ استفاده شده است (جدول ۲):

$$F = \sum_{i=1}^{12} \frac{p_i^2}{p} \quad (1)$$

P_i = متوسط بارندگی بر حسب میلی‌متر، P = متوسط بارندگی سالانه بر حسب میلی‌متر

$$R-factor = \frac{0.07397 \times F1.847}{17.2} \quad (2)$$

F = شاخص فورنیه، $1y-1h-1$ - واحد شاخص فرسایندگی باران

۲. شاخص حساسیت مواد کناره و بستر

تکنیک‌های مختلفی برای اندازه‌گیری رسوبات بستر و کناره وجود دارد. در این پژوهش از روش گراول متر برای اندازه‌گیری رسوبات بستر استفاده شده است (اسماعیلی و همکاران، ۱۳۹۰: ۱۴۳). در بازدیدهای میدانی، ۲۲ نمونه از کرانه‌های رودخانه در هر بازه برداشت شد و برای آزمایش دانه‌سنگی با استفاده از الک برای آنالیز رسوبات کرانه رود به آزمایشگاه منتقل شد و حساسیت مواد کناره بازه‌ها نسبت به فرسایش کناره مشخص شد (جدول ۳).

جدول ۲. مقادیر محاسبه شده فرسایندگی باران برای ایستگاه‌های منطقه مورد مطالعه

۱۱	۱۰	۹	۸	۷	۶	۵	۴	۳	۲	۱	بازه
۳/۳۷	۳/۴۵	۳/۵۴	۲/۶۲	۳/۳۴	۳/۸	۳/۹۸	۲/۹۸	۴/۰۷	۴/۱۶	۴/۲۶	شاخص فرسایندگی باران-۱y-1MJmmha
۴۲۴/۲۷	۴۳۴/۹	۴۴۵/۷	۴۵۶/۶۱	۴۶۷/۶۵	۴۷۸/۸۳	۴۹۰/۱۳	۵۰۱/۵۷	۵۱۳	۵۲۴/۸۷	۵۳۶/۶۸	شاخص فورنیه mm
۴۰۱	۴۰۶	۴۱۱	۴۱۶	۴۲۱	۴۲۶	۴۳۱	۴۳۶	۴۴۱	۴۴۶	۴۵۱	شاخص باران mm
۲	۲	۲	۲	۲	۲	۲	۳	۳	۳	۳	امتیاز مدل

جدول ۳. طبقه‌بندی حساسیت مواد بستر نسبت به فرسایش در بازه‌های اندازه‌گیری شده رودخانه هفت‌چشمه

۱۰	۹	۸	۷	۶	۵	۴	۳	۲	۱	قطع	طبقه‌بندی در مدل
کم	کم	کم	کم	کم	کم	کم	کم	کم	کم	کم	کم
گراول	گراول	گراول	گراول	گراول	گراول	گراول(کمی)	گراول(کمی)	گراول	گراول	گراول	گراول
(ریگ	گراول	(ریگ	گراول	گراول	(ریگ	(ریگ	ریگ	(ریگ	(ریگ	(ریگ	(ریگ
بسیار	(ریگ	بسیار	(ریگ	(ریگ	درشت	درشت و	درشت	درشت	درشت	درشت	درشت
درشت تا	درشت(ت	درشت تا	درشت	درشت(ت	درشت	درشت)	درشت)	درشت	درشت	درشت	درشت
(درشت)	(درشت)	(درشت)	(درشت)	(درشت)	(متوسط)	(متوسط)	(متوسط)	(متوسط)	(متوسط)	(متوسط)	(متوسط)
۲	۲	۲	۲	۲	۲	۲	۲	۲	۲	۲	امتیاز مدل

۳. شیب کناره‌ای رودخانه

یک وابستگی مثبت بین ناپایداری کناره و فاکتور شیب وجود دارد. شیب بیشتر به معنی بیشتر شدن خطر فرسایش کناره‌ای است. در این پژوهش با استفاده از رابطه ۳ مقدار شیب کناره اندازه‌گیری شده است.

$$S = S_a \times S_h \quad (3)$$

S = فاکتور شیب، S_a = زاویه شیب کناره‌ای، S_h = ارتفاع شیب

زاویه و ارتفاع کناره را می‌توان با استفاده از مطالعات میدانی به دست آورد و همچنین با استفاده از دستگاه شبیه‌سنج نیز بر حسب درجه و درصد محاسبه می‌شود. برای نتیجه بهتر، پروفیل‌های هر کناره را با استفاده از مطالعات میدانی و اندازه‌گیری فاصله افقی خط آب در قسمت‌های کناره تعیین می‌کنند. فاصله افقی و تغییرات ارتفاع دو فاکتوری هستند که مقدار شبیه را آشکار می‌کنند (جدول ۴).

جدول ۴. پارامترهای اندازه‌گیری شده شبیه کناره‌ای

بازه									
۱۰	۹	۸	۷	۶	۵	۴	۳	۲	۱
(۲۱/۳) راست ۱ (۵۴) راست ۲	۱۳/۰۲	۱۷/۱۵	۳۰/۸۵	۳۱/۵۱	۹/۳۲	۱۰/۹	۲۰/۸۴	۱۳/۹۳	۹/۹۶
کرانه راست	شبیه								
(۳۷/۸) چپ ۱ (۱۰/۹۲) چپ ۲ (۲۷/۷۲) چپ ۳	۷/۲۵	۱۳/۰۴	۴/۹۵	۲۰/۲۸	۱۴/۱۳	۲۳/۹۷	۳۸/۴۵	۴/۲۹	کرانه‌ای (m/m) چپ

۴. شاخص پیچان‌رودی

معمولًاً برای محاسبه پیچان‌رودی، از مفاهیمی نظیر سینوسیتی، ضریب خمیدگی، و درصد انحنا استفاده می‌شود. ضریب خمیدگی یک رودخانه نسبت طول رودخانه به طول دره‌ای است (در امتداد محور دره اندازه‌گیری می‌شود) که رودخانه در آن جریان دارد. همچنین، ذکر این نکته لازم است که اگر رودخانه مستقیم باشد و ضریب پیچان‌رودی برابر ۱ باشد، حداقل امتیاز اختصاص یافته برای این شاخص معادل ۵٪ خواهد بود. اگر رودخانه مستقیم نباشد، برای ارزیابی و تحلیل این شاخص و تعیین فرورفتگی‌های کناره هر پیچان‌رود از رابطه ۴ استفاده می‌شود:

$$MI = \frac{ACB}{AB} \quad (4)$$

شاخص پیچان‌رودی، $ACB =$ طول قوس، $AB =$ طول دره

رودخانه مورد مطالعه به شش قسمت از نظر الگو تقسیم و بر اساس این طبقه‌بندی برای هر کدام از بازه‌ها الگوی رودخانه مشخص شده است. در ابتدا، میزان ضریب خمیدگی برای هر کدام از بازه‌ها محاسبه شد. به این صورت که طول رودخانه تقسیم به طول دره شد و بر اساس طبقه‌بندی بریلی و فریرس (۲۰۰۵: ۷۵) رودخانه به طبقات مختلف شامل مستقیم، سینوسی، و پیچان‌رودی طبقه‌بندی شد (جدول ۵).

جدول ۵. ضریب خمیدگی رودخانه هفت‌چشممه

بازه						
۶	۵	۴	۳	۲	۱	ضریب خمیدگی
۱/۰۳	۱/۰۷	۱/۲۱	۱/۳۷	۱/۱	۱/۲۹	نوع رودخانه
سینوسی	سینوسی	سینوسی	پیچان‌رودی	سینوسی	سینوسی	

۵. شبیه طولی رودخانه

برای برآورد شبیه طولی رودخانه و محاسبه منطقه آسیب‌پذیر به فرسایش کناره‌ای، با استفاده از نقشه توپوگرافی منطقه، مسافت و ارتفاع عمودی بین بالاترین و پایین‌ترین نقطه رودخانه از روی منحنی‌های میزان اندازه‌گیری شد. در نهایت، شبیه طولی رودخانه هفت‌چشممه با استفاده از رابطه ۵ برآورد شد.

$$\text{شبیه طولی} (\emptyset i) = \tan^{-1} \frac{AB_i}{CB_i} \quad (5)$$

$i\phi =$ شب طولی رودخانه، $ABi =$ اختلاف ارتفاع بین بالاترین و پایین ترین منحنی میزان، $CBi =$ فاصله بین بالاترین و پایین ترین منحنی میزان

۶. تنشی پوشی نزدیک کرانه

محاسبه نیروی تنش برشی وارد بر کناره با استفاده از شیب بستر (s) (متر به متر) و حداکثر عمق دی لبالی (h_0) (متر) و شیب کناره (Θ) (درجه) از طریق رابطه ۶ محاسبه شده است (جدول ۶). در پارامتر تنش برشی نزدیک کرانه بیشتر بازده‌ها در طبقه خیلی کم تا متوسط قرار دارند؛ ولی بازه ۴ چپ در طبقه شدید و بازه‌های ۷ چپ و ۹ راست در طبقه خیلی شدید قرار گرفته‌اند. همچنین، بازه ۹ چپ (دوم) جزو طبقه خیلی خیلی شدید قرار دارد.

$$\tau = \gamma h_o s \cos \theta_1 \quad (6)$$

جدول ۶. پارامترهای محاسبه شده تنش پرشی کناره رودخانه هفت چشمه

۷. شاخص فرسایش خاک (فرسايش، يذيري K)

برای اندازه‌گیری ویژگی‌های خاک، محل نمونه‌برداری در محدوده مورد مطالعه تعیین و نمونه‌برداری خاک از عمق ۰-۲۰ سانتی‌متری انجام شد. نمونه‌های خاک به منظور تعیین بافت خاک و همچتین تعیین میزان نفوذپذیری از روی بافت خاک آزمایش شد. بافت خاک نسبتی از ذرات خاک شامل سیلت، رس، و ماسه است که سهم هر کدام در خاک توسط بافت خاک سنجیده می‌شود. برای الک‌کردن نمونه‌ها از الک ۲ میلی‌متر استفاده می‌شود. برای تعیین میزان فرسایش‌پذیری نمونه‌ها برای هر کدام از طریق اسطله ۷ محاسبه شد (حدوا، ۷).

$$k = 0.0035 \times 0.0388 \times \exp(-0.5 \times (\frac{\log Dg + 1.519}{0.7584})^2) \quad (\text{Y})$$

D_g = میانگین هندسی قطر ذره‌های خاک به میلی‌متر (D_{50})

جدول ۷. پارامترهای محاسبه شده برای فرسایش پذیری خاک رودخانه هفت چشمه

بازه	فرسایش	راست	کرانه	خاک						
۱	۵/۳۴	۲/۸۲	۳/۷۱	۱/۹۲	۱/۵	۱/۵	۲/۴۹	۸/۲۹	۳/۹۶	۹۶/۳
.	۳/۶۴	۸/۹۱	۳/۳۸	۲/۱۵	چپ پایین ۷/۴۸	چپ بالا ۱/۶۱	۱/۵۳	۲/۶۹	چپ میانی ۱/۸	۶۱/۴
									چپ بالا ۳/۵۳	۹/۷۴

۸. پوشش گیاهی

برای تخمین پوشش گیاهی رودخانه هفت‌چشمی و تعیین تراکم پوشش گیاهی از روش تعیین نوع گروه‌های پوشش گیاهی (بدون پوشش گیاهی کم، پوشش گیاهی فراوان) استفاده شد و همچنین برای امتیازدهی به تراکم ریشه از روش مدل BEHI استفاده شده است (جدول ۸).

جدول ۸. میزان درصد و امتیاز پوشش گیاهی رودخانه هفت‌چشمی

نوع گروه	نوع پوشش گیاهی چوبی	بازه	کرانه	درصد میزان ریشه(%)
پوشش گیاهی کم ۲	باغ- درخت و دو ردیف درخت	۲۵	راست	۱
پوشش گیاهی کم ۲	باغ- درخت و دو ردیف درخت	ندارد	چپ	
پوشش گیاهی کم ۲	بوته‌های تمشک و علف‌های بلند دارای دو ردیف درخت	ندارد	راست	۲
پوشش گیاهی کم ۲	درخت چنار و گردو و مرتع علفی	۵۰	چپ	
پوشش گیاهی کم ۲	بوته‌های کمارتفاع و یک ردیف درخت	۲۵	راست	۳
پوشش گیاهی کم ۲	بوته‌های کمارتفاع و یک ردیف درخت	۲۵	چپ	
پوشش گیاهی زیاد ۳	باغ- درختان چنار و گردو	۲۵	راست	۴
پوشش گیاهی زیاد ۳	تمشک وحشی- نیزار	۲۵	چپ	
پوشش گیاهی زیاد ۳	باغ- علفزار- دارای بیش از دو ردیف درخت چنار و گردو	ندارد	راست	۵
پوشش گیاهی زیاد ۳	باغ- علفزار- دارای بیش از دو ردیف درخت چنار و گردو	۷۰	چپ	
بدون پوشش گیاهی ۱	پوشش درختی پراکنده- درختان بید و چنار	۲۵	راست	۶
بدون پوشش گیاهی ۱	پوشش درختی پراکنده- مرتع	ندارد	چپ	
پوشش گیاهی کم ۲	دو ردیف درخت- چنار و بید	۷۰	راست	۷
پوشش گیاهی کم ۲	دو ردیف درخت- چنار و بید	۵۰	چپ	
پوشش گیاهی کم ۲	دو ردیف درخت- چنار و گردو	۵۰	راست	۸
پوشش گیاهی کم ۲	دو ردیف درخت- چنار و گردو	۲۵	چپ	
پوشش گیاهی زیاد ۳	بیش از دو ردیف درخت - چنار نیزار تمشک وحشی	۷۰	راست	۹
پوشش گیاهی زیاد ۳	بیش از دو ردیف درخت - چنار نیزار تمشک وحشی	۵۰	چپ	
بدون پوشش گیاهی ۱	درختچه و علفزار	۵۰	راست	۱۰
بدون پوشش گیاهی ۱	درختچه و علفزار	۵۰	چپ	

۹. فعالیت‌های انسانی

در این مطالعه نخست در محیط سیستم اطلاعات جغرافیایی حریم ششمتری برای هر کناره از رودخانه تعیین شد و سپس در طول محدوده مورد مطالعه با استفاده از مطالعات میدانی تأثیر فعالیت‌های انسانی در محدوده مورد مطالعه ارزیابی شد. این عوامل شامل جاده، عبور جاده از عرض رودخانه، سد رسوبی و تغییر مسیر جریان، پل، ساختمان‌سازی است و در انتهای مخاطره انسانی تأثیرگذار در رودخانه هفت‌چشمی شناسایی شد. روش کار به این صورت است که در ابتدا تعداد فعالیت‌های انسانی فعال در حریم رودخانه با استفاده از بازدیدهای میدانی بررسی شد و مسافت درگیرکننده در هر بازه با استفاده از متر اندازه‌گیری می‌شد. ابتدا طول بازه‌ها اندازه‌گیری می‌شد. سپس، به مقدار مسافتی که فعالیت انسانی در آن تأثیر گذاشته بود اندازه‌گیری می‌شد. عدد بهدست‌آمده از فعالیت انسانی تقسیم به مسافت هر بازه می‌شد و در صد ضرب می‌شد که مقدار درصد تحت تأثیر فعالیت انسانی محاسبه می‌شد (جدول ۹).

جدول ۹. فعالیت‌های انسانی و میزان تأثیر آن بر رودخانه هفت‌چشمه

بازه	نوع فعالیت	مقدار (متر)	درصد تحت تأثیر(%)
بازه ۱ تا ۵	باغ و کشاورزی	"	بیش از ۵۰ از هر مقطع
بازه ۶	جاده در حریم طولی رودخانه	۷	۷۰
بازه ۷	-	-	-
بازه ۸	پل	۵	۵۰
بازه ۹	ساختمان‌سازی نزدیک کناره	۴	۴۰
بازه ۱۰	سد رسبی	۷	۷۰
	عبور جاده از عرض رودخانه	۳/۵	۳۵

نتایج

متغیرهای اندازه‌گیری شده شامل شیب بستر، سرعت جریان، عرض دبی لبالی، نمونه‌برداری رسوبات کرانه، نمونه‌برداری رسوبات بستر با گراول متر، تعیین نوع فعالیت‌های انسانی و پوشش گیاهی است که از طریق اندازه‌گیری‌های میدانی به دست آمد. بعد از مشخص شدن هر یک از اطلاعات و با استفاده از پارامترهای موجود، به بررسی بازه‌های انتخابی با استفاده از پارامترها پرداخته شد و بر اساس نتایج هر پارامتر وزن دهی انجام گرفت. قسمت وزن دهی به این صورت است که طبقه‌بندی به پنج طبقهٔ خیلی آرام، آرام، متوسط، زیاد، و خیلی زیاد انجام می‌گیرد و به ترتیب به هر طبقه اعداد ۱، ۲، ۳، ۴، و ۵ اختصاص می‌یابد. در انتهای زمانی که همهٔ بازه‌ها امتیازدهی شد نقشهٔ مناطق حساس به ناپایداری و آسیب‌پذیری کرانه تهیه شد. امتیازات در این مدل در محدوده کمتر از ع۶ - ع۱۲ - ع۱۸ - ع۲۴، و بیشتر از ع۲۴ است.

۱. شیب کناره‌ای

بر اساس ویژگی‌های کanal رودخانه به ده بازه تقسیم شد و بر اساس مدل مقاطع حساس به فرسایش شناسایی شد که در جدول ۱۰ آمده است. شکل ۴ نقشه‌های پهنه‌بندی پارامتر شیب کناره‌ای را نشان می‌دهد. نتایج حاصل از شیب کناره‌ای نشان می‌دهد که میزان ناپایداری در بیشتر مقاطع آرام تا متوسط است به جز بازه ۱۰ که در کرانه راست آن میزان ناپایداری شدید است (شکل ۳).

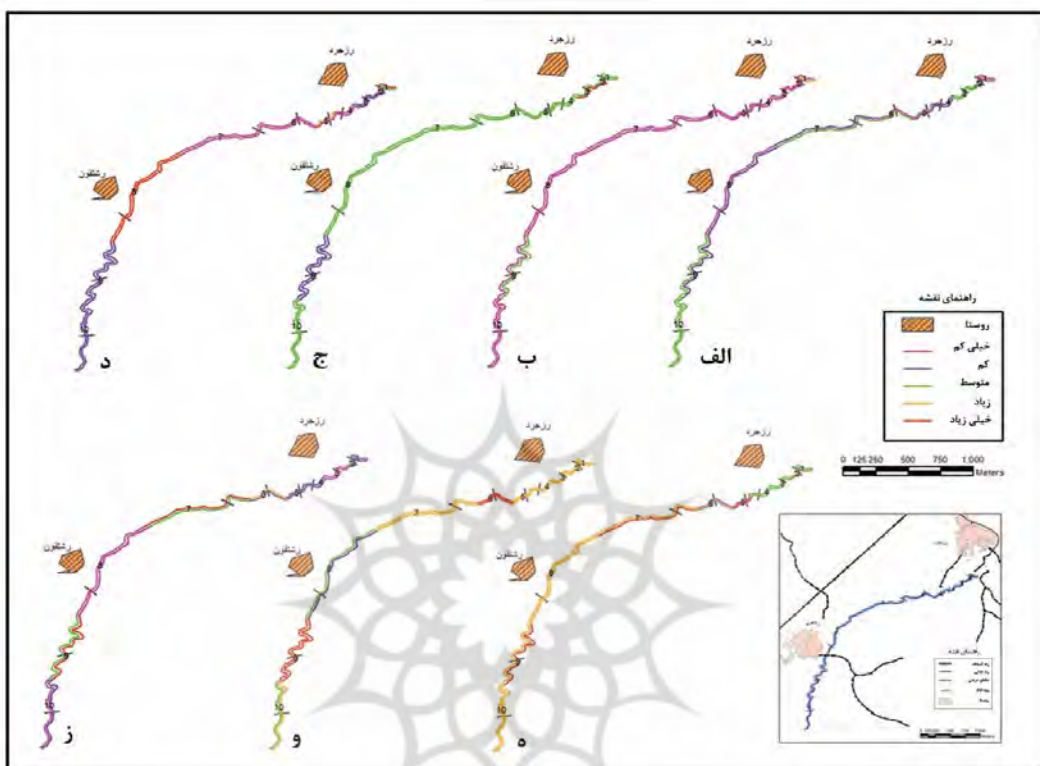
۲. پیچان رودی

در این پارامتر رودخانه به شش بازه تقسیم و در هر بازه مقدار آن اندازه‌گیری شد. نتایج محاسبه شده در مدل پهنه‌بندی آسیب‌پذیری فرسایش کناره‌ای در جدول ۱۰ آمده است. همچنین، نقشه‌های پهنه‌بندی برای هر بازه در شکل ۵ آمده است. در شاخص پیچان رودی منطقهٔ مورد مطالعه به ۶ بازه تقسیم شد که در هر بازه قوس‌ها جداگانه بررسی شد و با توجه به نتایج در بازه اول قوس شماره یک در طبقهٔ پیچان رودی قرار داشت و بقیه آن‌ها در طبقهٔ مستقیم قرار گرفت. همچنین، در بازه دوم همهٔ قوس‌ها در طبقهٔ مستقیم قرار داشتند. در بازه سوم قوس‌های شماره ۲۹ پیچان رودی، ۳۰ و ۳۷ و ۳۸ در طبقهٔ متوسط و بقیه مستقیم بودند. بازه‌های چهارم، پنجم، و ششم در همهٔ قوس‌ها در طبقهٔ مستقیم قرار گرفته‌اند (شکل ۳).

۳. فرسایش خاک

یافته‌های حاصل از آنالیز آزمایشگاهی نمونه‌های برداشت شده از کرانه‌های هر مقطع با استفاده از نرم‌افزار Gradistat در جدول ۱۰ آمده است. بر اساس یافته‌های فوق، نقشه‌های پهنه‌بندی حساسیت برای هر بازه ترسیم شد.

در فاکتور فرسایش‌پذیری خاک بیشتر نمونه‌های اندازه‌گیری شده در طبقهٔ خیلی آرام تا آرام قرار داشتند. همچنین، نمونهٔ کرانهٔ چپ بازهٔ یک، کرانهٔ راست و چپ بازهٔ هشت در طبقهٔ خیلی شدید قرار دارند و فقط کرانهٔ چپ قسمت پایین در طبقهٔ تند قرار دارد. در فاکتور سنگ‌شناسی کرانه، همهٔ مقاطع در طبقهٔ متوسط قرار دارند و فقط بازهٔ دو، کرانهٔ چپ پایین در طبقهٔ خیلی شدید قرار گرفته است. همچنین، در بستر همهٔ بازه‌ها جزو طبقهٔ کم قرار دارند (شکل ۳).



شکل ۳. نقشهٔ حساسیت به فرسایش کناره در پارامترهای مورد مطالعه: (الف) متغیر شیب کناره‌ای؛ (ب) متغیر طبقه‌بندی پیچان رودی؛ (ج) متغیر شیب طولی رودخانه؛ (د) متغیر فرسایش خاک؛ (ه) متغیر پوشش گیاهی؛ (ز) متغیر فعالیت‌های انسانی؛ (ز) متغیر تنش برشی در بازه‌های ۱ تا ۱۰

۴. شیب طولی رودخانه

با استفاده از نقشهٔ توپوگرافی و اندازه‌گیری‌های میدانی، شیب طولی رودخانه محاسبه و نقشه‌های آسیب‌پذیری مربوط به این پارامتر ترسیم شد (جدول ۱۰ و شکل ۷). در فاکتور شیب طولی رودخانه، همهٔ موارد اندازه‌گیری شده در طبقهٔ آرام تا متوسط قرار داشتند و فقط در ارتفاع ۱۶۹۰-۱۷۰۰ و ۱۷۲۰-۱۷۱۰ طبقهٔ تند را به خود اختصاص داده‌اند (شکل ۳).

۵. پوشش گیاهی

برای تعیین نوع گروه‌های پوشش گیاهی در منطقهٔ مورد مطالعه، گروه‌ها به سه دسته تقسیم می‌شوند و درصد پوشش گیاهی هر مقطع سنجدید می‌شود. در انتهای با استفاده از مدل پهنه‌بندی آسیب‌پذیری فرسایش کناره‌ای به امتیازدهی و تهیهٔ نقشه‌های آن پرداخته شد (شکل ۳). در پارامتر پوشش گیاهی بیشتر بازه‌ها جزو طبقهٔ پراکنده‌اند و همچنین بازه‌های ۴، ۵، و ۹ دارای پوشش گیاهی زیاد هستند (جدول ۱۰).

۶. فعالیت‌های انسانی

با توجه به تعداد فعالیت‌های تأثیرگذار در رودخانه و مسافتی که باعث تأثیرگذاری در رودخانه شده است، به درصد بندی تأثیر هر پارامتر اقدام شد و در انتهای امتیازبندی انجام گرفت و نقشهٔ پارامتر فعالیت انسانی تهیه شد (شکل ۳). در فعالیت‌های انسانی در بازه‌های یک تا پنج، بهدلیل کاربری کشاورزی و باغ، بازهٔ هشت و بازهٔ ده تأثیر فعالیت‌های انسانی در طبقهٔ متوسط است. در بازهٔ شش و نه فعالیت انسانی در طبقهٔ انبوه است (جدول ۱۰).

جدول ۱۰. امتیازدهی مدل به بازه‌های رودخانه هفت‌چشمه

طبقه‌بندی مدل	کرانه	خیلی آرام	آرام	متوسط	زیاد	خیلی زیاد	خیلی شدید	فرسایش گیاهی	پوشش خاک	شیب طولی	پیچان رودی کناره‌ای	فعالیت‌های انسانی	تنش برشی
		۱	۲	۳	۴	۵	۶						
۱	راست	۱	۴	۳	۳	۳	۲						۲
۱	چپ	۱	۱	۳	۵	۳	۲						۲
۲	راست	۲	۱	۲	۱	۳	۱						۳
۲	چپ	۳	۱	۲	۳	۳	۱						۳
۳	راست	۳	۱	۴	۲	۳	۱						۴
۳	چپ	۳	۱	۳	۲	۳	۱						۴
۴	راست	۳	۱	۳	۱	۳	۱						۵
۴	چپ	۳	۱	۳	۱	۳	۱						۵
۵	راست	۱	۱	۱	۱	۱	۱						۶
۵	چپ	۱	۱	۱	۱	۱	۱						۶
۶	راست	۳	۱	۱	۱	۱	۱						۷
۶	چپ	۳	۱	۱	۱	۱	۱						۷
۷	راست	۲	۱	۱	۱	۱	۱						۸
۷	چپ	۲	۱	۱	۱	۱	۱						۸
۸	راست	۲	۱	۱	۱	۱	۱						۹
۸	چپ	۲	۱	۱	۱	۱	۱						۹
۹	راست	۳	۱	۱	۱	۱	۱						۱۰
۹	چپ	۳	۱	۱	۱	۱	۱						۱۰
۱۰	راست	۳	۱	۱	۱	۱	۱						۱۰
۱۰	چپ	۳	۱	۱	۱	۱	۱						۱۰

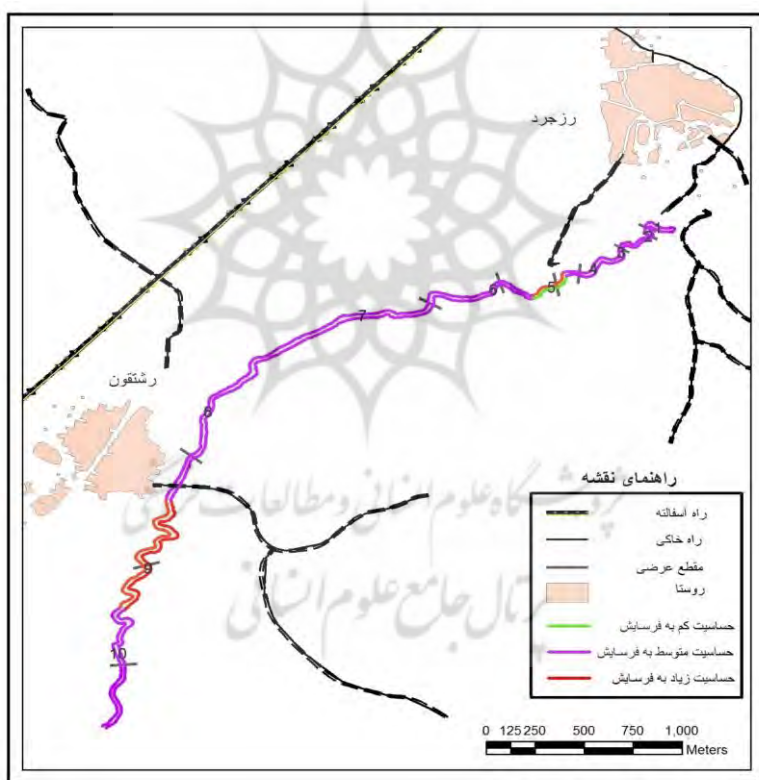
نتیجه‌گیری پهنه‌بندی آسیب‌پذیری فرسایش کناره‌ای

روش کار و نتایج ارائه شده در این مطالعه به منظور پیش‌بینی حساسیت فرسایش کناره رودخانه هفت‌چشمه بوده است. تفاوت این روش نسبت به مطالعات قبلی کمی‌سازی و تعدد متغیرهای مورد استفاده در برآورد پهنه‌بندی آسیب‌پذیری کناره رودخانه بوده است. یافته‌های موجود در این پژوهش نشان می‌دهد که کناره‌های رودخانه‌ها در این رودخانه دارای حساسیت بالا نسبت به فرسایش هستند. در نقشه‌های تهیه شده (شکل ۴) و با استفاده از جدول ۱۰ به پهنه‌بندی رودخانه هفت‌چشمه از نظر ناپایداری فرسایش کناره‌ای اقدام شد. همچنین، در جدول ۱۱ میزان فرسایش هر بازه به تفکیک کرانه تعیین شد.

با توجه به نتایج به دست آمده، همه بازه‌ها به جز بازه‌های ۵ و ۹ امتیاز متوسط گرفته‌اند. وجه مشترک همه این بازه‌ها نرخ متوسط آسیب‌پذیری فرسایش کناره بوده است. بازه‌های ۱ تا ۴، با توجه به امتیازات جدول و مشاهدات روی زمین، دارای پوشش گیاهی زیاد بوده است. در نتیجه، پارامتر فرسایش خاک نیز در این بازه‌ها در رده آرام قرار دارد و شاخص پیچان‌رودی نیز دارای کمترین امتیاز است.

جدول ۱۱. میزان حساسیت به فرسایش کناره در بازه‌های مورد مطالعه

۱۰	۹	۸	۷	۶	۵	۴	۳	۲	۱	بازه
۱۷	۲۵	۲۰	۲۰	۱۸	۱۴	۱۶	۱۸	۱۵	۲۰	کرانه راست
۱۷	۲۳	۱۸	۲۰	۱۶	۲۳	۱۶	۱۸	۲۱	۱۹	امتیاز نهایی مدل
متوسط	زیاد	متوسط	متوسط	متوسط	آرام	متوسط	متوسط	متوسط	کرانه چپ	میزان فرسایش
متوسط	زیاد	متوسط	متوسط	متوسط	زیاد	متوسط	متوسط	متوسط	کرانه راست	علامت اختصاری
C	D	C	C	C	B	C	C	C	C	کرانه چپ
C	D	C	C	C	D	C	C	C	C	کرانه راست



شکل ۴. نقشهٔ پهنه‌بندی ناپایداری آسیب‌پذیری فرسایش کناره‌ای بازه‌های ۱ تا ۴

این تفاوت ناشی از تفاوت پوشش گیاهی و تأثیر آن یعنی تراکم و عمق ریشه‌ها بوده است. درواقع، پوشش گیاهی هر سه فرایند فرسایشی کناره (فرسایش هیدرولیک رودخانه، حرکات توده‌ای، و تنفس برشی مکانیکی و هیدرولیکی مواد کناره) را که لاولر^۱ (۱۹۹۵) آن را بیان کرده تحت تأثیر قرار می‌دهد (وین و مستقیمی^۱، ۲۰۰۶: ۷۴). وین و مستقیمی (۲۰۰۶) مشخص

1. Lawler

کرده‌اند که تراکم ریشه تأثیر قابل توجهی در روی فرسایش کناره در جنوب غربی ویرجینیا امریکا دارد. مطالعات قبلی نشان می‌دهد پوشش گیاهی درختی نرخ فرسایش را از طریق اتلاف انرژی ستون آب کاهش می‌دهد. این فرایند از طریق افزایش زبری و مقاومت کششی ناشی از افزایش چسبندگی فراهم شده به وسیله ترکیب ریشه و خاک انجام می‌گیرد (تورن^۱، ۱۹۹۰؛ ۱۲۴؛ گنت و همکاران، ۱۹۸۴؛ پولین^۲، ۲۰۰۵؛ ۱۹۸۷؛ پولین^۳، ۲۰۰۷). علاوه بر این، نتایج نشان می‌دهد تفاوت گونه‌های مختلف گیاهی نیز مقادیر متنوعی از مقاومت کششی را نسبت به خاک فراهم می‌کند (گنت و همکاران، ۱۹۹۰؛ ۱۹۹۶؛ پولین، ۲۰۰۷؛ ۱۹۹۹).

کرانه راست بازه ۵ دارای نرخ آرام فرسایش است، اما در کرانه چپ بازه حساسیت به فرسایش زیاد است. چون وجود قوس در بازه ۵ باعث شده است که در کرانه چپ شیب دیواره زیاد شود و به رغم پوشش گیاهی زیاد باعث فرسایش بیشتر شده است و ریشه‌های درختان در این کرانه نیز بیرون‌زدگی زیادی را نشان می‌دهد. ولی در کرانه راست، وجود موانع گراوی حاشیه (پوینت بار) باعث شده شیب دیواره کم باشد و میزان تنفس برشی اعمال شده بر آن کم باشد. در نتیجه آسیب‌پذیری نسبت به فرسایش کمتر است. کرانه راست و چپ در بازه ۹ دارای آسیب‌پذیری زیاد است. زیرا در مطالعات میدانی در بالادست این بازه یک سد رسوی مشاهده شد که باعث شده بود مسیر جریان تعییر یابد و هر دو طرف کرانه دارای دیواره‌هایی با شیب زیاد بودند. تنفس برشی در این بازه دارای امتیاز خیلی زیاد بوده است و همچنین فعالیت انسانی هم بیشترین امتیاز را به خود اختصاص داده است. حساسیت فرسایش محاسبه شده در بازه‌های مختلف هفت‌چشمه نشان می‌دهد فرسایش بیشتر در بخش‌هایی رخ می‌دهد که پوشش گیاهی وجود ندارد؛ یعنی جایی که پوشش گیاهی کم است حساسیت به فرسایش نیز بیشتر است (شکل ۵).



شکل ۵. تصاویر بازه‌های مورد مطالعه در رودخانه هفت‌چشمه

1. Wynn and Mostaghimi

2. Thorne

3. Pollen

نتیجه‌گیری

با توجه به داده‌ها و اطلاعات جمع‌آوری شده و نمونه‌گیری‌های انجام‌گرفته، مشخص شد فرسایش کناره‌ای از پدیده‌های غالب و فعال در بازه‌های مورد مطالعه رودخانه هفت‌چشم محسوب می‌شود، که در بازه‌های مختلف موجب آثار و پیامدهای گوناگونی چون تغییر الگوی رودخانه، گسترش شعاع انحنا در قوس‌های رودخانه، و گسترش عرض رودخانه در مسیرهای مستقیم شده است. ایجاد پدیده‌های فوق و بروز این تغییرات در مورفولوژی رودخانه باعث ایجاد خسارات به زمین‌ها و تأسیسات اطراف رودخانه شده است. این یافته با نتایج مطالعه حسین‌زاده و همکاران بر روی رودخانه قرانقوچای مطابقت دارد و در آن رودخانه نیز فرسایش کناره‌ای آثار مشابهی به دنبال داشته است (حسین‌زاده و همکاران، ۱۳۹۶: ۱۶۲). در جهت جلوگیری از تحمل خسارات و اثرهای سوء در منطقه، به شناخت کلی رفتار و جریان رودخانه نیاز است که در نهایت با شناسایی مناطق مستعد برای این نوع از فرسایش و انجام‌دادن تمهیدات و اقدامات کنترلی در سطح این منطقه می‌توان آثار و پیامدهای این پدیده را کاهش داد یا به حداقل رساند.

این مطالعه نشان داد که پوشش گیاهی و حفاظت کناره‌ها نقش اساسی در حفظ پایداری کناره در این منطقه دارد. ارزیابی فرسایش کناره با استفاده از مدل پهنه‌بندی آسیب‌پذیری فرسایش کناره نشان می‌دهد پوشش گیاهی یک عامل محافظت‌کننده در طول مسیر رودخانه است و بر عکس آن فعالیت‌های انسانی و پیچان‌رودی دو عامل محرک در ایجاد حساسیت و فرسایش کناره‌هاست.



پژوهشگاه علوم انسانی و مطالعات فرهنگی
پرستال جامع علوم انسانی

منابع

- اسماعيلي، ر؛ حسينزاده، م.م. و متولي، ص. (۱۳۹۰). تكنيك‌های ميداني در ژئومورفولوژي رودخانه‌اي، تهران: لاهوت.
- حسينزاده، محمدمهدى و اسماعيلي، رضا (۱۳۹۴). ژئومورفولوژي رودخانه‌اي مفاهيم، اشكال، و فرایندها، تهران: انتشارات دانشگاه شهید بهشتى.
- حسينزاده، محمدمهدى؛ خالقى، سمية و واحدى فر، فراز (۱۳۹۶). ارزیابی تعییرات مورفولوژیک پایداری رودخانه قرانقوچای هشتetrood با استفاده از مدل BEHI، هيدروژئومورفولوژى، ۱۰: ۱۴۵-۱۶۴.
- حسينزاده، محمدمهدى و متتش بيرانوند، سعيده (۱۳۹۳). بررسی نقش عوامل ژئومورفیک در فرسایش کناری رودخانه‌ها (مطالعه موردي: رودخانه کشکان)، فصل‌نامه علمي، پژوهش‌های فرسایش محیطي، ۴: ۲۳-۳۹.
- حسينزاده، محمدمهدى؛ خالقى، سمية و رستمی، ميلاد (۱۳۹۶). مقایسه روش‌های برآورد خطر فرسایش کرانه‌اي با استفاده از مدل NBS (مطالعه موردي: رودخانه گالالی قروه)، مجلة مخاطرات محیط طبیعی، ۶(۱۴): ۱۴۱-۱۵۲.
- رضائي‌مقدم، محمدحسين؛ ثروتى، محمدرضا و اصغرى سراسکانبرود، صياد (۱۳۹۱). تحليل وضعية پایداری مجرای رودخانه قزل‌اوزن با استفاده از روش‌های تنشی برشی، شاخص مقاومت نسبی بستر و مطالعات صحرابي، پژوهش‌های ژئومورفولوژى کمى، ۱: ۳۳-۴۶.
- غفارى، غلامرضا؛ سليماني، كريم و مساعدى، على (۱۳۸۶). تعییرات مورفولوژى جانبي کanal با استفاده از GIS (بابل‌رود مازندران)، پژوهش‌های جغرافيايي، ۳۸(۵۷): ۶۱-۷۱.
- يماني، مجتبى و شرقى، سیامک (۱۳۹۱). ژئومورفولوژى و عوامل مؤثر در فرسایش کناری رودخانه هررود در استان لرستان، مجلة جغرافيا و برنامه‌ریزی محیطي، ۴۵(۱): ۱۵-۳۲.
- Bandyopadhyay, S.; Ghosh, G. and Kumar, S. D. (2014). A Proposed Method of Bank Erosion Vulnerability Zonation and its Application on the River Haora, Tripura, India, Geomorphology, 224: 111-125.
- Bertrand, F. and Papanicolaou, A. N. (2009). Effects of Freezing and Thawing Process on Bank Stability, World Environmental and Water Resources Congress: Great Rivers, New Mexico.
- Brierley, G. J. and Fryirs, K.A. (2005). Geomorphology and River Management: Applications of the River Styles Framework, Blackwell Publishing.
- Esmaili, R.; Hosseinzadeh, M.M. and Motavalli, S. (2011). Field Techniques in Fluvial Geomorphology, Lahot Publishing, Tehran.
- Genet, M.; Stokes, A.; Salin, F.; Mickovski, S. B.; Fourcaud, T. and Dumail, J.F. (2005). The Influence of Cellulose Content on Tensile Strength in Tree Roots, Plant and Soil, 278: 1-9.
- Ghaffari, G.; Soleimani, K. and Masaedi, A. (2007). Lateral morphology changes of canal using GIS (Babol River, Mazandaran), Geographical Research Quarterly, 57: 61-72.
- Ghosh, K.G.; Pal, S. and Mukhopadhyay, S. (2016). Validation of BANCS Model for Assessing Stream Bank Erosion Hazard Potential (SBEHP) in Bakreshwar River of Rarh Region, Eastern India. Modeling Earth Systems and Environment, 2: 1-15. <https://doi.org/10.1007/s40808-015-0044-z>
- Hosseinzadeh, M.M. and Esmaili, R. (2018). Fluvial Geomorphology, Concepts, Forms and Processes, Tehran: Shahid Beheshti University Press.

- Hosseinzadeh, M.M. and Matesh Bayranvand, S. (2014). The Effective Geomorphological Processes in Rivers Bank Erosion (Case Study: kashkan River), Journal of ENVIRONMENTAL EROSION RESEARCH, 4(2): 23-39.
- Hosseinzadeh, M.M.; Khaleghi, S. and Vahedifar, F. (2017). The Analysis and Assessment of Bank Erosion and Stability in the Qaranqoo River Using BEHI Model, Hydrogeomorphology, 10(3): 145-164.
- Hosseinzadeh, M.M.; Khaleghi, S. and Vahedifar, F. (2018). Comparison of Stream Bank Erosion Hazard Methods Using NBS Model (Case Study: Galali River, Ghorveh), Journal of Natural Environmental Hazards, 6(14): 141-152.
- Lawler, D.M. (1995). The Impact of Scale on the Processes of Channel-Side Sediment Supply: A Conceptual Model, Effects of Scale on Interpretation and Management of Sediment and Water Quality (Proceedings of alioulder Symposium, July 1995). IAHS Publ, 226: 175-184.
- Minghui, Y.; Hongyan, W.; Yanjie, L. and Chunyan, H. (2010). Study on the Stability of Noncohesive River Bank, International Journal of Sediment Research, 25: 391-398.
- Pollen, N. (2007). Temporal and Spatial Variability in Root Reinforcement of Streambanks: Accounting for Soil Shear Strength and Moisture, Catena, 69: 197-205.
- Razaimoghadam, M.H.; Sarvati, M.R. and Asghari Saraskanrud, S. (2012). Analysis of the Stability of River Channels Using Methods of Bed Shear Stress and the Relative Strength Index (Ranging Between 30 km Miyaneh City to the Zanjan Political Boundaries), Quantitative Geomorphological Research, 1: 33-46.
- Rosgen, D. (2001). A Practical Method of Computing Stream bank Erosion Rate, Wildland Hydrology, Inc. Pagosa Springs, Colorado.
- Thi, T.D. and Minh, D.D. (2019). Riverbank Stability Assessment Under River Water Level Changes and Hydraulic Erosion, Water, 11(12): 1-20, <https://doi.org/10.3390/w11122598>.
- Thorne, C. R. and Tovey, N. K. (1981). Stability of Composite River Banks, Earth Surface Processes and Landforms, 6: 469-484.
- Thorne, C.R. (1990). Effects of Vegetation on Riverbank Erosion and Stability, Vegetation and Erosion: Processes and Environments, Thorne, J.B. (Editor), John Wiley & Sons Ltd. West Sussex.
- Tokaldany, E. A.; Darby, S. E. and Tosswell, P. (2007). Coupling Bank Stability and Bed Deformation Models to Predict Equilibrium Bed Topography in River Bends, Journal of Hydraulic Engineering, 133: 1167-1175.
- Wischmeler, W.H. and Smith, D.D. (1978). Predicting Rainfall-Erosion Losses-a Guide to Conservation Planning. USDA Agr. Handbk, 537.
- Wynn, T.M. and Mostaghimi, S. (2006). The Effects of Vegetation and Soil Type on Streambank Erosion, Southwestern Virginia, USA, Journal of the American Water Resources Association, 42(1): 69-82.
- Yamani, M. and Sharifi, S. (2012). Geomorphology and effective factors on lateral erosion in Hor Rood River, Lorestan province, Geography and Environmental Planning Journal, 45(1): 15-27.